

<技術解説>



## 垂直入荷 配管의 流體調整裝置(下)

—震動 防止策 模型實驗結果—  
(Flow Control Device for Filling Vertical  
Pipe Running to Storage Cavity)

정우석 탄화학부장 韓 正 深\*

### 3. Induced Swirl Through Tangential Inlet

Tangential inlet 가 Swirl 를 일으키는 가장 간단한 방법중의 하나이다. 이것은 수직배관의 정상에서만 사용될 수 있다.

#### 3.1 MIXED AXIAL AND TANGENTIAL SUPPLY

Annular flow 가 전질이에 걸쳐 유지될 수 있도록 하기 위한 최소 Tangential discharge 를 여러가지의 총유량에 대해서 측정 하였다.

TABLE I에 모든 실험결과를 기록 하였으며 그 결론은 다음과 같다.

Annular film 의 두께는 Tangential inlet 에 의하여 유도되는 Kinetic momentum 에 의한다 는 것이 확실하므로 장애물의 직경은 그다지 중요할 것 같지 않다. Annular flow 는 모든 유량에 대해서 약 95 Diameter 이상 까지 존재하였다. 회전각도는 서로서로가 비슷하였다. 흡수된 공기에 의해 Air core 가 사라진 후에도 Mixed Air/Water flow 가 약 50 Diameter 까지 계속되는데, 흡수된 공기량은 각 경우에 있어서  $Q_a/Q \approx 0.8$  퉁 동일 하였다. System 의

Head loss 는 원형에서의 평균 수치가  $0.7 \text{ kg/cm}^2$  를 넘지 않으므로 상당히 받아들일 수 있는 것 이었다.

비록 Tangential/Total discharge ratio 가 실 험에서 일정하지 않더라도, 적은 유량에 대해서 Annular flow length 를 약간 줄여 줌으로써 이 System 의  $Q_a/Q$  를 약 0.4 로 유지 할 수 있다. Tangential inlet 에 의해 생성된 Swirl이 Axial flow 로 인해 소멸되므로 사실 Axial 방향과 Tangential 방향으로 혼합하여 주입하는 것은 적당치 못하다.

#### 3.2 TANGENTIAL SUPPLY ONLY-ALTERNATIVES

TABLE II에 모든 결과를 나타내었다.

10mm × 40mm 의 Opening 을 통한 Tangential supply 는 막대한 압력 (원형에서 유량  $10,000 \text{ m}^3/\text{hr}$  시의 대응 압력 손실  $8.8 \text{ kg/cm}^2$ ) 을 요구하므로 시험을 완성하지 못하였다.

보다 더 적합한 2개의 Tangential supply 가 실험되었다. 첫번째 Supply (10mm × 94mm) 가 두번째 (20mm × 100mm) 보다 약간 큰 Swirl 을 만들어 냈으나 Annular length 에서 별이득이 없음을 알 수 있었다. 반대로 Head loss 가 훨씬 더 중요하게 되었다. (원형에서 유량 10,000

\* 化工技術士(化學裝置 및 設備)

$\text{m}^3/\text{hr}$  시의 대응 압력 손실  $2.4 \text{ kg/cm}^2$  대  $0.7 \text{ kg/cm}^2$  따라서 두 번째 Tangential supply 가 채택되어 장애물 없이 하는 실험을 계속하였으며, 그 결과 장애물이 필요없음을 알 수 있었다.

사실 장애물은 Axial supply 나 혹은 Tangential inlet 가 없는 것에서는 물이 직접 관 중앙으로 떨어지지 않게 하기 위하여 필수적으로 있어야 하지만, 반대로 완전한 Swirl 이 유도됨으로써 흐름을 관벽에 밀착시키는 것은 어떤 장애물의 실존이 아니라 원심 동작인 것이다.

#### Comment 1

Head loss factor, K 는 여러 실험치와 2.5 항에서 유도한 이론치가 잘 맞음을 알 수 있다.

$$K = 1 + 2 \log \frac{R}{R - l}$$

$$K = 1.92 \text{ for } l = 10\text{mm}$$

$$K = 3.70 \text{ for } l = 20\text{mm}$$

TABLE I 을 보면 약간의 편차가 나타났는데, 이것은 Axial flow 로 인한 약간의 교란 때문에 Head loss 에 대해 장애물이 영향을 끼쳤기 때문이다. 그러나 TABLE II 는 실험치와 이론치가 잘 부합함을 나타낸다.

#### Comment 2

Tangential inlet 에 의한 Swirl 역시 2.5 항으로부터 유도될 수 있다. 하여튼 각 경우에 있어서 장애물은 영향력이 없다는 것을 확실히 해둘 필요가 있다. 이것은  $20\text{mm} \times 100\text{mm}$  Opening 과  $10\text{mm} \times 94\text{mm}$  Opening 에 대한 결과에서 확인된다. 더구나 각도  $\alpha$  역시  $e \ll R$  이라는 가정이 만족될 만큼 충분히 작다는 것도 확인할 필요가 있다.

상기의 관점에서 볼 때 공식 [4]를 장애물 없는  $20\text{mm} \times 100\text{mm}$  Opening 에 적용 시킬 수 있고, 그 결과 다음과 같은 실제적인 값이 얻어진다.

$Q$ ( $\text{l/s}$ )	$V_t$ ( $\text{m/s}$ )	$f$	$e_{sr}$ (mm)	$V_{msr}$ ( $\text{m/s}$ )	$\alpha_0$ (degrees)
2	1	0.0227	3.68	3.44	11
4	2	0.0187	5.73	4.61	16
6	3	0.0170	7.51	5.47	20

Remarks : 두께가 상기와 같이 계산되었는데 이는 공식 [1]에 의해서가 아니라  $e$  가  $R$ 에 대해 무시되지 않은 정확한 표현에 의한 것이다.

$$\frac{D - e_{sr}}{D} \cdot e_{sr} = \left[ \frac{f}{8g} \cdot \frac{Q^2}{\pi^2 D^2} \right]^{1/3} \quad [5]$$

$$f = 0.34 \left[ \frac{4Q}{\pi V(D - e_{sr})} \right]^{-0.25} \quad [6]$$

$$\text{그리고 } V_{msr} = \frac{Q}{\pi e_{sr} (D - e_{sr})} \quad [7]$$

한편  $\alpha_0$  는  $e \ll R$  이라고 가정한 [4]로 부터 직접 얻는다.

$$\sin \alpha_0 = \frac{Vt}{V_{msr}} \left( 1 - \frac{l}{D} \right)$$

가정  $e \ll R$  은 확실히 [4]에 어떤 영향을 미치고 ( $6l/s$  시  $e/R = 30\%$ ) 보다 큰 Swirl 에서는 [4]를 전연 적용 시킬 수 없다는 것은 분명한 일이다.

하여튼 다음과 같은 결론이 얻어진다.

$e_{sr}$  은 대략 유량  $Q$  의 0.6 승에 비례한다.

$V_{sr}$  은 대략 유량  $Q$  의 0.4 승에 비례한다.

$Vt$  는 대략 유량  $Q$  에 비례한다.

폭  $l$  인 Tangential inlet 에 대하여  $\sin \alpha_0$  는  $Q$  의 0.6 승에 비례한다. 따라서 각도  $\alpha_0$  는 대략  $Q$  의 0.5 승으로 변화한다. TABLE I, II 를 보면 이러한 관계가 분명함을 알 수 있다. 또한 흐름은 적은 유량에서 보다 많은 유량에서, 보다 긴 구간에서 Annular flow 가 되는데 이것 역시 실험적으로 증명되었다.

따라서 주어진 시설의 치수를 정한에 있어서는 배관계통의 어떤 진동이 위험스럽지 않게 되는 점 이하로 한계 유량을 고려하여야 한다.

#### Comment 3

$Z/D$  항에 따른  $\alpha$  의 감소현상을 TABLE I, II 에 나타내었다. Kreith 와 Sonju 는 비록 Full section flow 에 적용시킨 것이지만 다음과 같은 Evolution law 를 제시하였다.

$$\tan \alpha / \tan \alpha_0 = \exp \left[ - \frac{33.4(1+\epsilon) \cdot 2(Z/D)}{Re} \right] \quad [8]$$

$$\epsilon = 4.15 \times 10^{-3} \times \frac{Re^{0.86}}{2} \text{ for Turbulent}$$

diffusivity

$Q$ ( $\text{l/s}$ )	$e_{sr}$ (mm)	$V_{msr}$ ( $\text{m/s}$ )	$\alpha_0$ (degrees)	$*D_H$ (mm)	$**Re$	$\epsilon$
2	3.68	3.44	11	13.7	39,270	18.5
4	5.73	4.61	16	20.5	78,750	33.7
6	7.51	5.47	20	25.9	118,060	47.8

20mm×100mm Opening에 대해서 자유량에 대한  $\tan \alpha / \tan \alpha_0$ 는 다음과 같다.

$$*D_H = 4 \cdot \frac{\pi(D^2 - d^2)}{4\pi D} = \frac{D^2 - d^2}{D} = \frac{D^2 - (D - 2e_{sr})^2}{D}$$

Hydraulic diameter

$$**Re = \frac{D_H V_{msr}}{\nu}$$

$$\tan \alpha / \tan \alpha_0 = e^{-0.0332(Z/D)} \text{ for } Q=2l/s$$

$$\tan \alpha / \tan \alpha_0 = e^{-0.0234(Z/D)} \text{ for } Q=4l/s$$

$$\tan \alpha / \tan \alpha_0 = e^{-0.0276(Z/D)} \text{ for } Q=6l/s$$

TABLE III을 보면 Swirl decay가 측정이 불확실함에도 불구하고 상기 관련식이 잘 적용됨을 알 수 있다.

FIG2,3은  $\alpha(Z)$ 의 변화를 측정한 것이다.

### 3.3 VELOCITY PROFILE

Tangential opening이 연결되는 Filling pipe의 정확한 기하형태를 규격대로 재현하는 것은 불가능하기 때문에 Opening 상부 80mm 지점에서의 Velocity profile을 결정하기 위하여 Probe를 사용하였다.

이 실험(FIG 4)에서는 Velocity profile이 일정하지는 않지만 100mm 높이에 걸쳐 상당히 균일한 것으로 나타났다.

상기의 실험에 근거한 이론식에 따라 4항에서 원형에 대한 Tangential supply system을 설계하였으며 FIG5에 그 결과를 나타내었다.

## 결 론

수직 배관에서 Swirl을 발생시키면 안정한 Annular flow를 얻을 수 있다는 것이 확인되었다. 배관이 적절한 Head loss를 갖는 swirling flow로 이행되도록 Tangential inlet를 연구하는데 특별한 주의가 주어져야 한다.

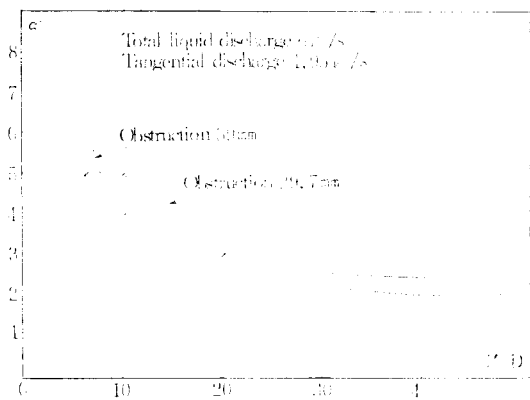
수직선과 약 20°의 각도를 만들어 내는 Swirl은 100 Diameter 이상에서 흐름을 관벽에 밀착시키는 것이 가능하다.

이러한 방법으로 적어도 배관 정상에서 Mixed flow에 의하여 발생될지도 모를 진동가능성을 상당히 줄여 줄수 있다.

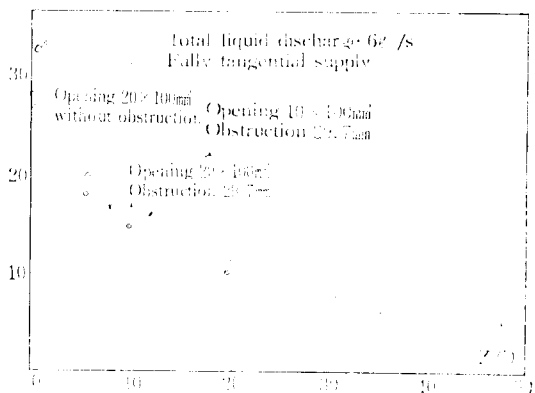
여기서 언급한 실험은 물질전달의 열역학적

현상(비등 또는 응축)을 고려치 않는 물/공기 계통에 한한 것이었다는 것을 지적한다. 이 System의 정확한 운전에 대한 완전한 보장은 Vapor와 평형 상태에 있는 액체를 사용하는 마지막 실험을 행한 후에야만 가능하다.

**FIGURE 2.** Variation of Flow Rotation Angle in Terms of Obstruction Distance



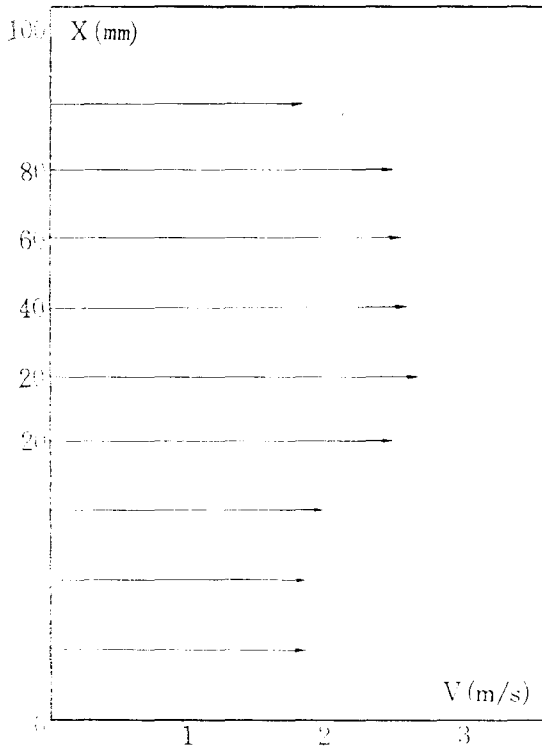
**FIGURE 3.** Variation of flow rotation angle in terms of obstruction distance



### 4. PROTOTYPE DEVICE—Tangential Supply System of In pumping Shaft

직경 739.7mm, Z/D=85인 Inpumping shaft에 비중 853 kg/m<sup>3</sup>, 비접도  $8.7 \times 10^{-6} \text{ m}^2/\text{s}$ 인

**FIGURE 4.** Velocity profile 80mm upstream of the tangential inlet—cross section  
20×100mm<sup>2</sup>



원유가 흐를 때 진동이 없는 Tangential supply system 을 구상하여 보자.

우선  $l/R=0.81$  일 때 장치에 대한 Pressure drop 이 제일 적으므로

$$l/R=0.81 \quad l=0.81(0.7397/2)=0.3\text{m} \text{로 한다.}$$

입하량  $Q=11,000\text{m}^3/\text{hr}=3.056\text{m}^3/\text{s}$  때의 설계치에 대한 Tangential inlet size 를 다음과 같이 계산한다.

[5]식으로 부터

$$\frac{D-e_{sr}}{D} \cdot e_{sr} = \left[ \frac{f}{8g} \cdot \frac{Q^2}{\pi^2 D^2} \right]^{1/3}$$

$$\frac{0.7397-e_{sr}}{0.7397} \cdot e_{sr} = \left[ \frac{f}{8 \times 9.8} \cdot \frac{3.056^2}{\pi^2 \cdot 0.7397^2} \right]^{1/3}$$

$$e_{sr} - \frac{e_{sr}^2}{0.7397} = (0.02208f)^{1/3}$$

[6]식으로 부터

$$f=0.34 \left[ \frac{4Q}{\pi \nu (D-e_{sr})} \right]^{-0.25}$$

$$=0.34 \left[ \frac{4 \times 3.056}{\pi \times 8.7 \times 10^{-6} (0.7397-e_{sr})} \right]^{-0.25}$$

$$=0.34 \left( \frac{0.4475 \times 10^6}{0.7397-e_{sr}} \right)^{-0.25}$$

[5]와 [6]식으로부터

$$e_{sr} - \frac{e_{sr}^2}{0.7397} = [0.02208 \times 0.34 \times \left( \frac{447,500}{0.7397-e_{sr}} \right)^{-0.25}]^{1/3}$$

$$= \frac{0.1958}{\left( \frac{447,500}{0.7397-e_{sr}} \right)^{0.0833}}$$

$e_{sr}$  은 Trial-error method 에 의하여 구한다.

$e_{sr}$	0.1m	0.08m	0.071m
좌 변	0.0865	0.0713	0.0642
우 변	0.0638	0.0640	0.0641

$\therefore e_{sr}=0.071\text{m}$  로 정한다.

[7]식으로부터

$$V_{msr} = \frac{D}{\pi e_{sr} (D-e_{sr})}$$

$$= \frac{3.056}{\pi \times 0.071 (0.7397-0.071)} = 20.5\text{m/s}$$

Z/D=85 에서는  $\alpha_0$  가  $14^\circ$ 정도라면 Annular flow 가 된다고 본다.

[4]식으로부터

$$\sin \alpha_0 = \frac{Vt}{V_{msr}} \left( 1 - \frac{l}{D} \right)$$

$$\sin 14^\circ = \frac{Vt}{20.5} \left( 1 - \frac{0.3}{0.7397} \right)$$

$$\therefore Vt = 8.3\text{m/s}$$

또한  $Vt = \frac{Q}{l \cdot h}$  이므로

$$h = \frac{Q}{Vt \cdot l} = \frac{3.056}{8.3 \times 0.3} = 1.2\text{m}$$

Shaft 바닥에서의 Swirl의 각도는 [8]식에서 계산될 수 있다.

$$D_H = \frac{D^2 - d^2}{D}$$

$$= \frac{0.7397^2 - (0.7397 - 2 \times 0.071)^2}{0.7397}$$

$$= 0.2567\text{m}$$

$$Re = \frac{D_H \cdot V_{msr}}{\nu} = \frac{0.2567 \times 20.5}{8.7 \times 10^{-6}}$$

$$\begin{aligned}
 &= 604,960 \\
 \epsilon &= 4.15 \times 10^{-3} \times \frac{Re^{0.86}}{2} \\
 &= 4.15 \times 10^{-3} \times \frac{(604,960)^{0.86}}{2} = 194.7 \\
 \tan \alpha / \tan \alpha_0 &= e - \frac{33.4(1+\epsilon) \cdot 2(Z/D)}{Re} \\
 \tan \alpha &= (\tan \alpha_0)e - \frac{33.4(1+194.7) \cdot 2(85)}{604,960} \\
 &= (\tan 14^\circ)e^{-1.8368} = 0.0397
 \end{aligned}$$

$\therefore \alpha = 2.3^\circ$ 로 Annular flow 입을 알 수 있다.  
 상기와 같이  $l=0.3m$ ,  $h=1.2m$ 인 Opening 을  
 갖는 Tangential supply system 의 Pressure drop 은 다음과 같다.

[2]식으로부터

$$\begin{aligned}
 P_m - Pa &= \frac{\rho Q^2}{2g_c l^2 h^2} \left( 1 + 2 \log \frac{R}{R-l} \right) \\
 &= \frac{853 \times 3.056^2}{2 \times 9.8 \times 0.3^2 \times 1.2^2} \times \\
 &\quad \left( 1 + 2 \log \frac{0.3699}{0.3699 - 0.3} \right) \\
 &= 7670 \text{kg/m}^2 = 0.77 \text{kg/cm}^2 \text{로서 적} \\
 &\text{당하다.}
 \end{aligned}$$

상기 시설로서 최소유량  $3,750 \text{m}^3/\text{hr} = 1.042 \text{m}^3/\text{s}$   
 일때의 결과치는 다음과 같다.

$e_{sr}$	$V_{msr}$	$V_t$	$\alpha_0$	$\alpha$	$(P_m - Pa)$
0.036m	13.1m/s	2.9m/s	7.6°	1°	0.09kg/cm²

FIG 5. Cyclone filling line for crude storage cavern

